

*А. Н. Ханчук, В. В. Голозубов, И. В. Панченко,
А. В. Игнатьев, О. В. Чудаев*

ГАНЫЧАЛАНСКИЙ ТЕРРЕЙН КОРЯКСКОГО НАГОРЬЯ

В составе Ганычаланского террейна выделяются три субтеррейна: Ильпенейский (глаукофановые и зеленые сланцы), Хинантынупский (ультрабазиты, габроиды, амфиболиты) и Элгеминайский (диабазы, базальты, кремни, известняки, конгломераты и песчаники). Толеитовые и щелочные метабазальты Ильпенейского субтеррейна совместно с породами Хинантынупского составляют офиолитовую ассоциацию океанического острова. Аргон-аргоновый возраст образования габбро (559 млн лет) и метаморфизма гранат-кварцевых амфиболитов (550 млн лет) Хинантынупского субтеррейна близки к возрасту метаморфизма кварцитов Ильпенейского субтеррейна (530—520 млн лет). Амфиболиты образовались при $T = 625^{\circ}\text{C}$ и $P = 9\text{--}10$ кбар и отражают ранний метаморфизм офиолитов, связанный с перемещением разогретых пластин сразу же после формирования симаунтов.

ВВЕДЕНИЕ

Ганычаланский террейн* сложен породами различного возраста и генезиса. Основные черты его геологического строения были установлены работами В. Ф. Белого, И. Л. Добрецова, Н. Б. Зaborовской, А. Ф. Михайлова, Г. Е. Некрасова, Л. Г. Пономаревой, А. Д. Чехова и др.

* Террейн — это геологическое тело региональной протяженности, выделяемое по тектоностратиграфическим признакам, имеющее собственную историю геологического развития, отличающуюся от истории развития соседних тел [14, 16, 17]. Мы не разделяем распросраненного в советской литературе представления о «пучжеродности» или «экзотичности» как главном признаке выделения террейнов.

Л. В. Баженовым, Л. А. Семеновым и Н. Л. Евглевским в 1985 г. составлена геологическая карта террейна в масштабе 1 : 50 000.

В составе террейна выделена толща голубых сланцев с раннепалеозойскими исходными породами и среднепалеозойским метаморфизмом [4]. Позднее некоторые исследователи [1, 12 и др.] считали голубые сланцы метаморфизованными аналогами базальтов, кремней и известняков кингивеемской свиты мезозойского возраста. Кроме того, здесь обнаружены толща ордовикских вулканогенно-кремнистых пород, несогласно перекрытая терригенными отложениями позднего ордовика [2], позднепротерозойский — раннепалеозойский ультрабазит-габбро-амфиболитовый (офиолитовый) комплекс [7, 9], а на юго-восточной границе террейна — меланик с блоками девонских, пермских и триасовых пород [7]. Среди гальки ордовикских конгломератов обнаружены раннекембрийские известняки с археоциатами, которые аналогичны археоциатам в одновозрастных известняках Атласки и Канады и резко отличаются от археоциат Сибири [5].

Полученные нами новые данные о возрасте пород офиолитового комплекса и голубых сланцев, а также о возрасте кремней дополняют и уточняют представления о геологическом строении и истории формирования Ганычаланского террейна.

РЕГИОНАЛЬНАЯ ГЕОЛОГИЧЕСКАЯ ХАРАКТЕРИСТИКА

Ганычаланский террейн — один из трех террейнов, которые мы выделяем в пределах Пенжинского хребта (с северо-запада на юго-восток): Харитонинский, Ганычаланский и Куольский (рис. 1, 2). Характеристика террейнов, а также предлагаемая геолого-структурная карта района (см. рис. 2) составлены с широким привлечением материалов геолого-съемочных работ, выполненных геологами Северо-Камчатской экспедиции ПГО Камчатгеологии Л. В. Баженовым, Л. А. Семеновым и Н. Л. Евглевским.

Харитонинский террейн, сложенный одноименной свитой раннекаменноугольного возраста, располагается вдоль юго-восточного края Пенжинской депрессии. При видимой ширине 5—10 км террейн прослежен в северо-восточном направлении от левобережья р. Харитоня до р. Белая на расстояние около 50 км. Северо-западная и юго-западная границы террейна перекрыты залегающими с угловым несогласием раннепозднемеловыми и кайнозойскими молассами.

Харитонинская свита мощностью около 2400 м представляет собой чередование пачек алевролитов, песчаников, гравелитов и конгломератов. Свита охарактеризована многочисленными находками фауны (брахиопод, реже гониатитов), определяющими возрастные ее границы в рамках турнейского и визейского веков. В кровле свиты отмечены прослои углистых сланцев и каменных углей, а в подошве — маломощные потоки андезитов и дацитов, а также прослои туфов среднего и кислого состава. По составу кластики (в том числе и тяжелой фракции) песчаники свиты следует относить к приостроводужным грауваккам, причем как источник осадочного вещества большую роль играл базитовый и гипербазитовый фундамент [6]. Свита образует открытые, часто коробчатые складки шириной 4—5 км, имеющие восток-северо-восточное простирание и углы падения слоев на крыльях 10—30°. Разрывные нарушения многочисленны, они обычно субвертикальны и ориентированы преимущественно вдоль складок или косо секут их. Вопрос о характере перемещений по ним, как и по относительно редким поперечным разрывам, остается неясным.

Относительная слабая дислокированность харитонинской свиты позволяет предполагать, что Харитонинский террейн представляет собой фрагмент вулканической дуги, залегающей на жестком фундаменте, возможно, краевой части кратона.

Ганычаланский террейн, образованный раннепалеозойскими породами, примыкает с юго-востока к Харитонинскому. Граница проходит почти

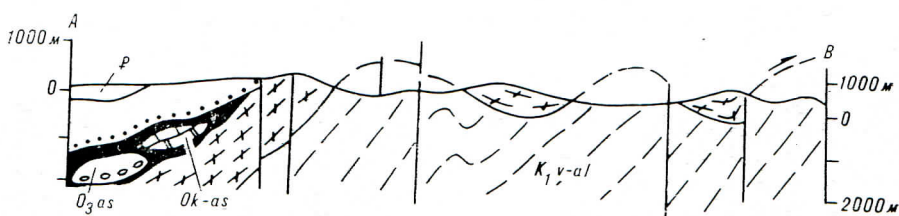
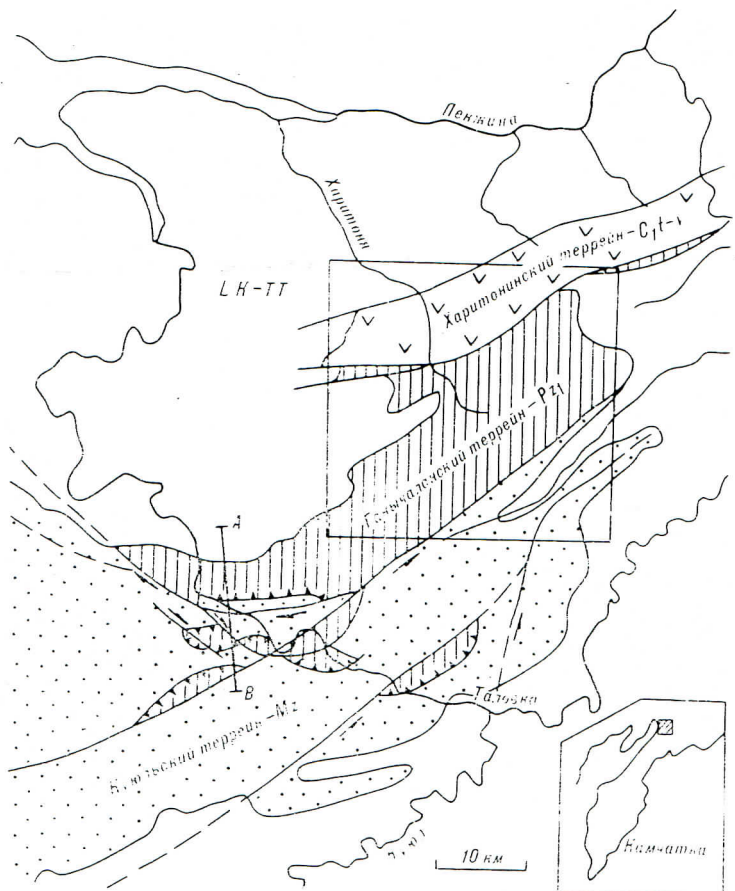


Рис. 1. Тектоностратиграфические терреины Пенжинского кряжа.

1 — конгломераты; 2 — андезиты; 3 — песчаники; 4 — алевролиты, песчаники; 5 — базальты, известняки, яшмы; 6 — песчаники; 7 — песчаники, аргиллиты; 8 — песчаники, андезитовые туфы; 9 — известняки; 10 — конгломераты, алевролиты; 11 — известняки, кремни; 12 — пильво-базальты; 13 — диабазы (средний ордовик); 14 — габбро (ранний кембрий); 15 — голубые сланцы, кварциты, мрамора; 16 — серпентинитовый метаин; 17 — надвиги; 18 — разломы и сдвиги со смещением по простиранию; 19 — слоистость.

на всем протяжении по крутопадающему разлому, вероятно, сдвигу. Лишь на отдельных отрезках геологические карты показывают надвиговые взаимоотношения (ордовикские породы надвинуты на каменноугольные), но эти данные требуют проверки.

Ганычаланский террейн при ширине в 10—15 км прослеживается на расстояние около 50 км от верховий р. Ганычалан до верховий р. Мал. Упупкин. Северо-восточнее и юго-западнее он погружается под субгоризонтально залегающие молассы мелового и кайнозойского возраста. Он имеет сложное строение и представляет собой пакет из перекрывающих друг друга трех тектонических пластин (субтерреинов). Здесь выделяются (снизу вверх): Ильпенейский (голубые сланцы), Хинантынупский (ультрабазиты, габброиды) и Элгеминайский (диабазы, базальты, кремни, известняки, конгломераты, песчаники и сланцы) субтерреины. Пакет из этих пластин смят в опрокинутую на юго-восток антиформу. Ее юго-

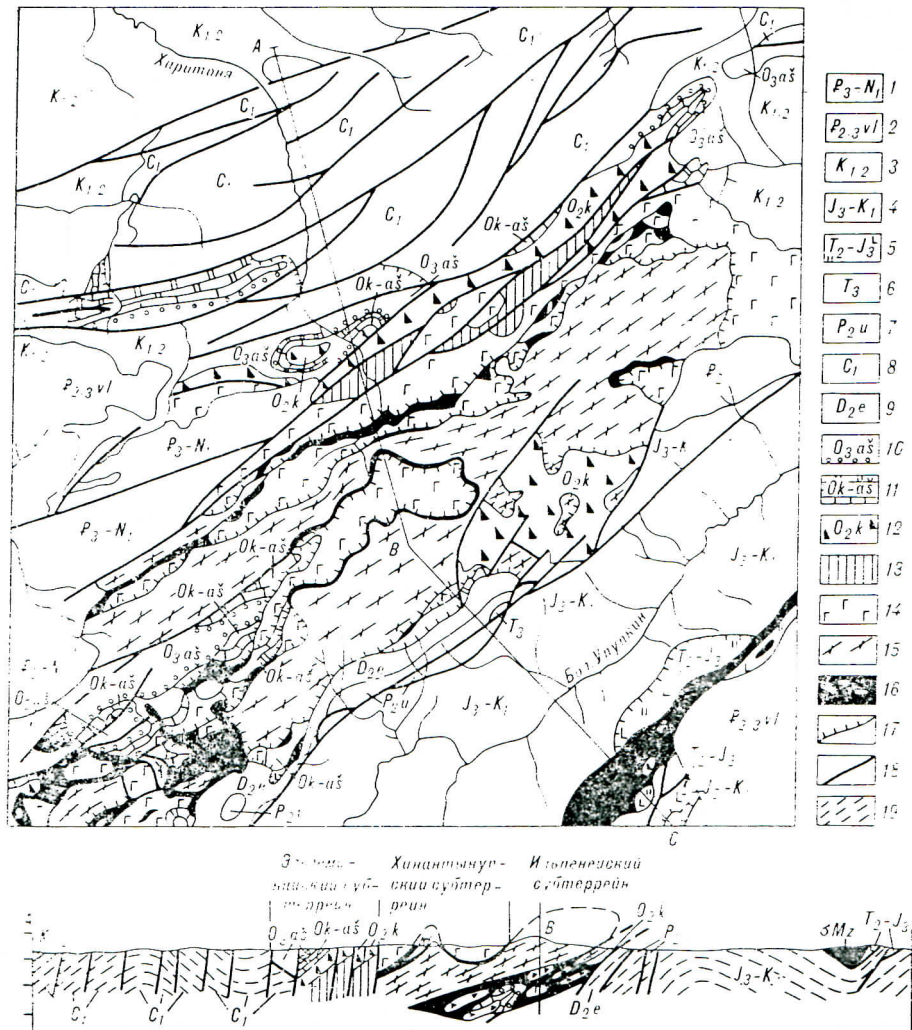


Рис. 2. Схематическая геологическая карта Ганычаланского террейна. Усл. обозн. см. на рис. 1

восточное крыло редуцировано, к нему приурочен крупный надвиг с серпентинитовым меланжем, содержащим обломки и пластины — фрагменты всех трех субтеррейнов. Северо-западное крыло имеет более простое строение, осложнено антиформным и синформным перегибами и серией круто-падающих разрывов восток-северо-восточного простирания. Данные разрывы, судя по наблюдавшимся вблизи них мелким складкам волочения с крутопадающими шарнирами, в процессе перемещений имели сдвиговую составляющую.

Едоль юго-восточной границы Ганычаланского террейна прослеживается узкая (шириной до 1,5 км) полоса выходов пород, содержащих разнообразную фауну среднего — верхнего палеозоя и раннего мезозоя. Здесь известны коралловые известняки эйфельского яруса среднего девона, известковистые конгломераты, песчаники и алевролиты с фауной брахиопод и банками колымцевых ракушняков уфимского яруса верхней перми, а также песчаники и алевролиты с остатками монотид, галобий и брахиопод норийского яруса верхнего триаса. В плане выходы каждой из перечисленных групп пород ограничены разломами, нередко изометричны или имеют линзовидную форму и размеры (в перечнике) от первых десятков до сотен метров. По мнению [7, 9], мы имеем здесь дело с

пермской олистостромой, содержащей глыбы среднедевонских пород. Однако при таком взгляде выпадают из рассмотрения выходы верхнетриасовых пород среди этого же комплекса. А. Д. Чехов [12] также предполагает здесь олистострому, но апт-альбского возраста. Нет сомнения, что здесь обнажена полоса меланжа, но вопрос о природе его (осадочной или тектонической) требует дальнейшего изучения, особенно в части определения генезиса и возраста матрикса, «склеивающего» разновозрастные образования.

Куюльский террейн занимает большую часть Пеникинского Кряжа, включает практически Таловские и Маметчинские горы и образован сложно дислоцированными позднеюрскими — раннемеловыми толщами общей мощностью около 5000 м. По данным П. В. Маркевича и др. [6], эти толщи формировались за счет размыва прилегающих островных дуг. В структурном отношении терригенный разрез образует паравоихтон, а аллохтоны представлены раннемезозойскими офиллитами. Наиболее крупным аллохтоном является полоса куюльских офиллитов с Ганкуваемской пластиной отмершего центра спрединга. Куюльский террейн сформировался в результате раннемеловой аккреции позднеюрского центра спрединга, перпендикулярного к активной окраине [11].

Границы между Куюльским и Ганычаланским терреинами на всем протяжении являются тектоническими. С юго-востока Ганычаланский террейн срезается крутопадающим разломом, входящим в систему широко распространенных в этой части постаккреционных левых сдвигов северо-восточного простирания, смещающих, в частности, фрагменты полосы куюльских офиллитов [11].

Вдоль южной границы Ганычаланского терреина, пересекающей долину р. Таловка, прослежен надвиг широтного простирания, по которому метаморфиты Ильпинейского субтерреина перекрывают раннемеловые толщи Куюльского терреина. Это перекрытие подчеркивается наличием ряда клиппенов, сложенных ильпинейскими метаморфитами значительно юго-восточнее главной надвиговой границы, в пределах Куюльского терреина (см. рис. 2). Время надвигания (и, по-видимому, аккреции) определяется здесь достаточно отчетливо как альбское, поскольку кровлю паравоихтонного комплекса образует альбская тихореченская свита, а неоавтоихтон сложен грубообломочной кедровской свитой, также альбского возраста, залегающей с угловым несогласием как на более древних нижнемеловых толщах, так и на палеозойских породах Ганычаланского терреина.

Поскольку юго-западнее р. Таловка, в Маметчинских горах, отсутствует продолжение Ганычаланского и Харитонинского терреинов (здесь обнажены раннемеловые толщи с офилитовыми аллохтонами), можно предполагать торцовое сочленение этих терреинов с Куюльским по системе разломов северо-западного простирания. Ряд разломов, принадлежащих, по-видимому, этой системе, прослежен в междуречье Таловка — Лекасын (см. рис. 1). Штриховки на плоскостях смеcителей и наблюдаемые разобщения вдоль них фрагментов клиппенов метаморфических пород однозначно указывают на то, что вдоль этой группы разломов происходили правосторонние сдвиговые перемещения.

Таким образом, Ганычаланский и Харитонинский терреины в процессе альбской аккреции перемещались в юго-восточном направлении (или, наоборот, Куюльский террейн перемещался на северо-запад). При этом фронтальный надвиг и боковой правый сдвиг составляли, по-видимому, единую динамопару.

ГЕОЛОГИЧЕСКОЕ СТРОЕНИЕ ГАНЫЧАЛАНСКОГО ТЕРРЕИНА

Ильпинейский субтеррейн занимает нижнее положение в структуре и образован преимущественно зелеными и голубыми сланцами одноименной свиты, представляющими собой метаморфизованные базальты и их туфы. Подчиненное значение имеют пачки серых и голубоватых кварци-

Таблица 1

Типичный химический состав пород Ганычаланского террейна (окислы — мас. %, микрэлементы — г.т)

Компонент	1	2	3	4	5	6	7
SiO ₂	37,70	52,45	49,95	49,19	45,33	50,17	47,53
TiO ₂	0,11	1,39	0,28	2,13	4,44	1,13	1,78
Al ₂ O ₃	1,05	16,81	14,40	14,92	14,63	15,53	13,93
Fe ₂ O ₃	7,82	5,91	3,49	2,81	6,72	8,02	5,90
FeO	2,81	2,03	4,39	7,87	7,82	2,91	4,48
MnO	—	0,15	0,17	0,15	0,16	0,15	0,15
MgO	37,34	5,50	10,16	6,87	5,19	6,86	6,05
CaO	0,24	6,64	10,56	7,25	4,77	6,91	10,48
Na ₂ O	0,06	5,44	2,61	4,29	4,55	4,80	4,05
K ₂ O	0,12	0,13	0,22	0,90	1,22	0,18	0,12
P ₂ O ₅	—	—	—	0,31	0,50	0,18	0,17
Н. п. п.	12,90	3,30	3,49	2,74	4,74	3,20	5,13
Сумма	100,15	99,45	99,42	99,43	100,07	100,04	99,77
H ₂ O	—	0,11	0,12	0,17	0,07	0,29	0,42
Rb	Н. а.	Н. а.	Н. а.	26	16	5	5
Sr	»	»	»	96	79	79	147
Ba	»	»	»	228	348	112	65
Nb	»	»	»	14	38	5	15
Zr	»	»	»	141	282	36	110
Nd	»	»	»	12	31	2	5
Y	»	»	»	35	23	2	5
Ce	»	»	»	22	68	5	18
La	»	»	»	5	45	5	22
Ni	34	75	145	Н. а.	120	Н. а.	220
Co	7	42	80	»	33	»	27
Cr	42	28	170	»	69	»	270
V	2	210	210	»	220	»	140
Cu		55	170	»	52	»	67

П р и м е ч а н и е. 1—3 — перидотиты и габбро Хинантунуского субтеррейна; 4, 5 — метабазальты Ильпенейского субтеррейна; 6, 7 — базальты Элгеминайского субтеррейна. Н. а. — нет анализа.

тов и яшмокварцитов и мраморизованных известняков. Эти породы занимают водораздельное пространство между реками Харитоня и Мал. Упушкин и Бол. Упушкин; метаморфическая полосчатость в них имеет устойчивое падение на северо-запад под углом 15—50°, редко круче.

Голубые сланцы Ильпенейского субтеррейна детально охарактеризованы Н. Л. Добрецовым и Л. Г. Пономаревой [4]. Выделена глаукофан-лавсонитовая и зеленосланцевая зоны метаморфизма. В промежуточной зоне присутствуют либо глаукофан без лавсонита, либо лавсонит без глаукофана. Кроме того, для промежуточной зоны характерен эгирин-жаденитовый пироксен.

Среди метабазальтов Ильпенейского субтеррейна выделяется толща массивных лав и пиллоу-лав, в которых сохранились реликты клинопироксена. Сравнительно низкое содержание титана в клинопироксене, по данным микрозондового анализа, указывает на принадлежность базальтов к толеитовой серии. В метабазальтах присутствует роговая обманка — или первично магматическая (с высоким содержанием титана), или отражающая ранний метаморфизм базальтов.

Кроме того, в Ильпенейском субтеррейне распространены миндалекаменные базальты в ассоциации с туфами.

По геохимическим данным (табл. 1), массивные лавы и пиллоу-лавы соответствуют толеитовым базальтам, промежуточным по составу между толеитами MORB и толеитами океанических островов. Миндалекаменные

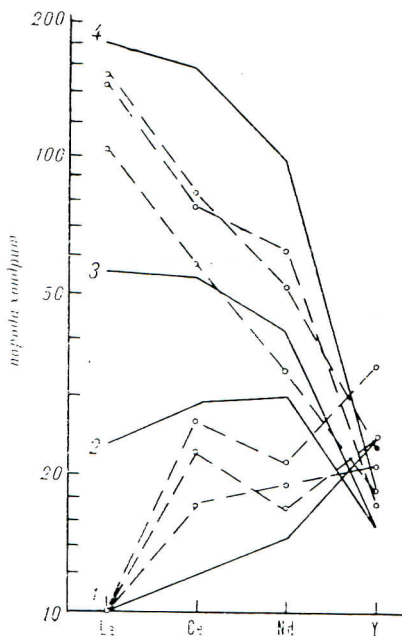


Рис. 3. Два типа метабазальтов Ильпенейского субтеррейна (пунктир). Тренды для океанических базальтов по [13]:

1 — базальты тихоокеанских срединно-оceanических хребтов; 2—4 — Гавайские базальты (2 — толенто-вый, 3 — оливин-щелочные, 4 — нефелин-меланитовые).

базальты аналогичны щелочным базальтам океанических островов (рис. 3).

А. В. Игнатьевым в Рестонской лаборатории Геологической службы США под руководством д-ра М. Канка выполнено $\text{Ar}-\text{Ar}$ -определение возраста мусковита (фенгита) из кварцитов, отобранных в верховьях р. Харитоня. В обеих пробах не было получено возрастное плато (рис. 4). Однако максимальные и минимальные значения $\text{Ar}-\text{Ar}$ -возраста позволяют сделать вывод о ранне-, а не среднепалеозойском, как это считалось ранее [4], времени формирования голубых сланцев. По сохранившимся отдельным ступеням возраст глаукофансланцевого метамор-

физма, вероятно, может быть определен в интервале 520—530 млн лет (поздний кембрий).

Хинантынуский субтеррейн образован полосчатыми габбро и гипербазитами. Последние распространены незначительно, встречаются обычно в подошвах пластин и превращены в серпентинитовый меланж.

В верховьях р. Харитоня пластина, сложенная габбро и гипербазитами, перекрывает метаморфиты Ильпенейского субтеррейна; в целом моноклинальное падение контакта на северо-запад местами осложнено синформным и антиформным перегибами. В частности, на водоразделе р. Харитоня и рек Ганычалан и Бол. Упукки наблюдается синформная складка, ядро которой сложено габбро, а крылья — метаморфитами ильпенейской свиты. К kontaktам приурочены зоны серпентинитового меланжа, имеющие встречное относительно пологое (до 30°) падение.

По реликтам первичных минералов и химическому составу (см. табл. 1 и 2) серпентиниты разделяются на перидотиты (гарцбургиты?) и плагиоклавовые перидотиты. Характерна высокая железистость оливинов. По составу хромистая шпинель отличается от шпинели альпинотипных перидотитов (рис. 5). В ультрабазитах присутствуют реликты бледно-коричневой роговой обманки, которая, по высокому содержанию титана и алюминия, является первично магматической.

В габброидной части разреза встречаются сравнительно слабо изменившиеся оливиновые габбро, габбро-нориты, габбро, роговообманковые габбро и горнблендиты. Среди габбро залегают «слон» циозитовых амфиболитов и амфибол-гранат-кварцевых сланцев [7]. Микрозондовые анализы минералов габброидов и амфиболитов приведены в табл. 2. Парагенезис магнезиального оливинов и аортита — типичный для океанических офиолитов. Однако в габброидах Хинантынусского субтеррейна оливин более железистый по сравнению с оливинами из габбро куюльских офиолитов [11]. В габброидах встречается первичная магматическая роговая обманка, которая замещается метаморфической роговой обманкой, отражающей сравнительно высокотемпературный метаморфизм Хинантынусского субтеррейна. Параметры метаморфизма могут быть оценены по составу минералов гранатовых амфиболитов (см. табл. 2) — граната (35 %), кварца (40 %), роговой обманки (23 %) и плагиоклаза № 20—22 (2 %). Низкое содержание плагиоклаза заставляет предполагать высокие давления при формировании гранат-кварцевых амфиболитов. По гранат-

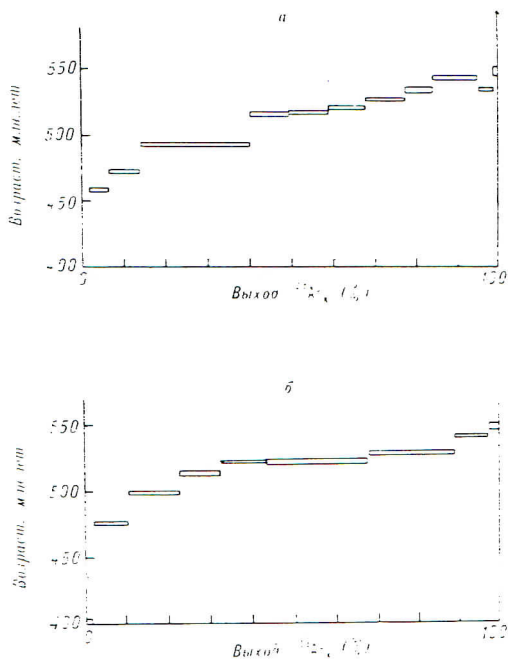


Рис. 4. Определение возраста кварцитов Ильченской субтеррейна:
а — обр. 9PG3-2; мусковит, минимальный возраст 460 млн лет, максимальный — 543 млн лет; б — обр. G361-3; мусковит, минимальный возраст — 401 млн лет, максимальный — 547 млн лет.

амфибол-плагиоклазовому геотермобарометру [10] температура метаморфизма составляла 625°C , а давление — 8,8–9 кбар; по амфиболовому геотермобарометру [8] температура равна 625°C , а давление — 10 кбар. Ar—Ar-возраст роговой обманки из габбро 559 ± 3 млн лет (возрастное плато хорошо выражено; рис. 6, а), гранат-рогообманкового сланца — около 550 млн лет (возрастное плато выражено слабо; рис. 6, б). Таким образом, внедрение габброидов и формирование гранатовых амфиболитов Хинантынупского субтеррейна происходило почти в одно время, в раннем кембрии. Глаукофан иногда обрастает кристаллы зеленой роговой обманки в амфиболитах, что указывает на более позднее время глаукофансланцевого метаморфизма, затронувшего породы Хинантынупского террейна.

Элгеминайский субтеррейн примыкает с северо-запада к габбро и гипербазитам Хинантынупского субтеррейна и образован преимущественно стратифицированными породами ордовикского возраста. Контакт между субтеррейнами отчетливо тектонический, к нему приурочена мощная зона крутопадающего разлома, вероятно, сдвига. Предположение о том, что Элгеминайский субтеррейн занимает верхнее структурное положение в рамках Ганычаланского террейна, обосновывается тем, что ордовикские породы наблюдаются в ядре упоминавшейся выше спиральной верховий р. Харитоня, на ее юго-западном продолжении.

По-видимому, в основании ордовикского разреза залегает толща диабазов, образуя изолированный тектонический блок в бассейне р. Харитоня в 4 км выше руч. Олений. Диабазы относительно однородны, в той или иной степени катаклизированы.

Нижне по течению (и, вероятно, выше по разрезу) по фрагментам разрезов в отдельных обнажениях реконструируется следующая последовательность (по [2], с дополнениями):

1. Пиллоу-базальты, межподушечное пространство в которых нередко выполнено бурым карбонатным веществом или яймовидными кремнями. Пачка содержит относительно маломощные (до 5 м) прослои красно-коричневых, реже бледно-зеленых кремнистых туффитов и кремней.

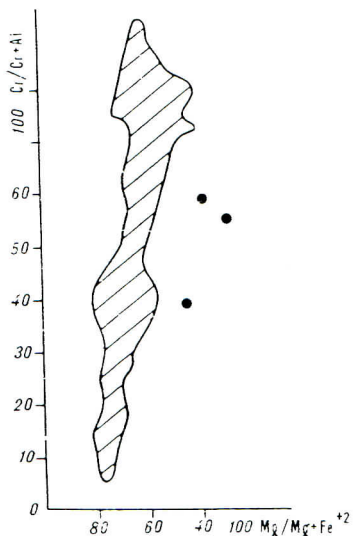


Рис. 5. Состав хромшпинели из перидотитов Хинантынупского субтеррейна.

Заштриховано поле шинильей альпинотипных перидотитов по [15].

Таблица 2

Представительные анализы реликтовых минералов в породах Чинантанского субтеррейна, мас. %

Компонент	9P53-4, перидотит						9P53-4 P4, перидотит						9P56-2 01, габбро-эпирит						9P43-6, габбро-порфирит					
	O1	Opx	Cpx	Sp	O1	Opx	Cpx	Sp	O1	Opx	Cpx	Sp	O1	Opx	Cpx	Sp	O1	Opx	Cpx	P1	O1	Opx	Cpx	P1
SiO ₂	39,62	55,32	52,58	—	39,58	56,03	53,04	—	44,02	44,66	44,02	—	37,76	54,27	53,78	44,75	44,84	56,61	53,80	54,17	38,48	52,55	44,45	
TiO ₂	—	0,15	0,40	0,79	—	0,42	0,05	0,42	2,06	0,03	0,01	0,11	0,73	0,00	0,05	0,41	0,00	—	—	0,44	—	—	—	
Al ₂ O ₃	—	1,73	2,58	20,48	—	1,35	1,84	22,04	11,57	35,32	—	1,14	4,59	11,13	35,50	4,08	2,15	28,97	—	—	—	2,40	35,75	
Cr ₂ O ₃	—	0,29	0,59	36,40	—	0,19	0,33	35,91	4,49	—	—	0,02	0,01	0,07	—	0,00	0,00	—	—	—	—	—	—	
Fe ₂ O ₃	—	0,00	0,34	11,67	—	0,00	0,48	9,22	—	—	—	4,33	0,10	—	—	0,00	0,00	—	—	—	—	—	—	
FeO	16,58	10,91	3,66	21,48	16,40	10,84	2,92	26,30	6,32	—	24,35	14,17	5,44	8,78	0,40	19,52	7,68	0,40	21,59	6,73	0,20	—	—	
MnO	0,23	0,26	0,14	0,33	0,18	0,20	0,40	0,46	0,10	0,15	0,33	0,36	0,48	0,12	0,06	0,44	0,11	0,00	0,29	0,25	—	—	—	
MgO	43,52	29,91	45,69	9,25	44,41	30,09	45,89	5,97	16,22	0,00	37,95	28,01	45,73	16,02	—	20,85	13,56	—	39,73	45,51	—	—	—	
CaO	—	4,24	23,83	—	—	0,73	25,07	—	12,38	17,59	—	0,34	23,78	12,04	18,60	4,40	22,48	11,70	0,02	21,21	18,14	0,60	—	—
Na ₂ O	—	—	0,20	—	—	0,00	—	—	2,32	2,04	—	—	0,06	4,95	0,76	—	0,51	4,66	—	0,24	—	—	—	—
K ₂ O	—	—	—	—	—	—	—	—	0,11	—	—	—	0,07	—	—	—	—	—	—	—	—	—	—	
Сумма	99,95	99,81	100,01	100,40	100,27	99,55	99,72	100,32	96,59	99,79	100,39	99,65	100,78	95,66	100,46	99,95	100,40	99,90	100,41	98,73	98,86	—	—	

Формульные коэффициенты

Si	1,002	1,958	1,927	—	0,997	1,981	1,947	—	6,388	2,068	—	0,989	1,957	1,963	6,576	2,067	2,065	1,982	2,449	0,996	4,959	2,057	
Ti	—	0,004	0,041	0,451	—	0,003	0,004	0,082	0,225	0,001	—	0,000	0,003	0,081	0,000	0,001	0,003	0,000	—	0,004	—	—	
Al	—	0,072	0,441	6,441	—	0,056	0,080	0,741	1,979	1,927	—	0,049	0,068	1,928	1,929	0,046	0,093	1,544	—	0,092	1,963	—	—
Cr	—	0,008	0,017	7,323	—	0,005	0,010	7,335	0,171	—	—	0,001	0,000	0,008	—	0,000	0,000	—	—	—	—	—	—
Fe ³⁺	—	0,000	0,009	2,234	—	0,000	0,013	4,792	—	—	—	0,036	0,003	—	—	0,000	0,000	—	—	—	—	—	—
Fe ²⁺	0,351	0,323	0,412	4,571	0,346	0,321	0,090	5,682	0,767	—	0,533	0,427	0,166	1,079	0,015	0,596	0,237	0,015	0,467	0,210	0,008	—	
Mn	0,005	0,008	0,004	0,071	0,004	0,006	0,003	0,401	0,012	0,006	0,007	0,011	0,006	0,015	0,004	0,014	0,003	0,000	0,006	0,008	—	—	
Mg	4,641	4,578	0,857	3,509	0,000	1,586	0,870	2,299	3,509	—	4,482	1,506	0,856	3,509	—	1,434	0,745	—	4,533	0,862	—	—	—
Ca	—	0,047	0,936	—	—	0,028	0,986	—	1,925	0,873	—	0,013	0,930	0,919	0,055	0,887	0,567	0,001	0,847	0,906	—	—	—
Na	—	—	0,014	—	—	—	0,000	—	0,653	0,483	—	—	0,004	0,556	0,068	—	0,036	0,409	—	0,017	0,054	—	—
K	—	—	—	—	—	—	—	0,020	—	—	—	0,013	—	—	—	—	—	—	—	—	0,001	—	—
f(An)	17,61	16,99	44,58	56,58	47,26	16,81	9,35	74,49	17,94	82,65	26,47	22,11	16,25	23,52	93,42	24,41	58,44	23,40	19,60	49,73	19,60	94,20	—

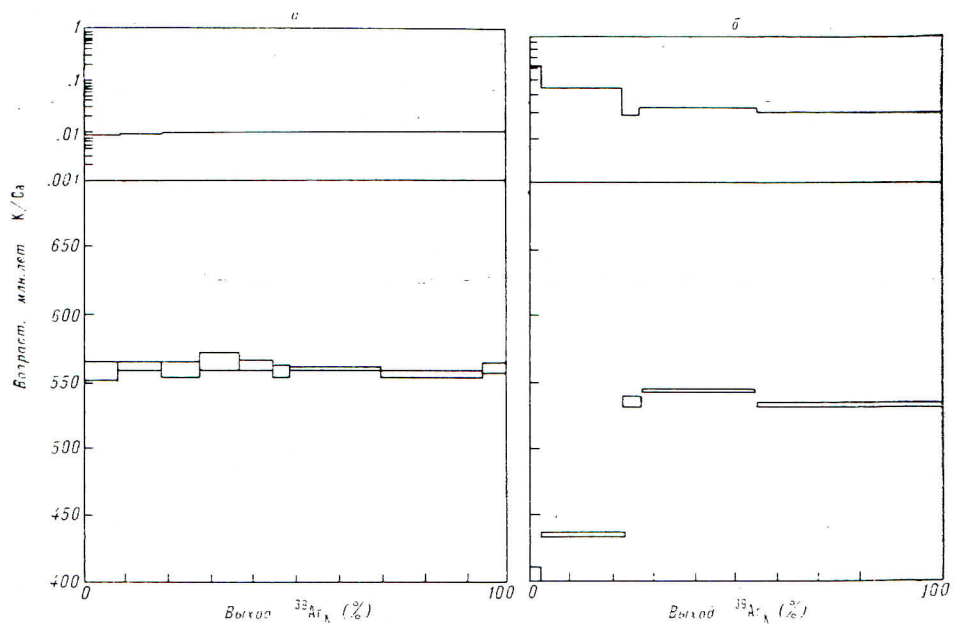


Рис. 6. Определение возраста магматической роговой обманки (обр. 9Р66-1) из габбро Хинантынусского субтеррейна (а) и метаморфической роговой обманки (обр. 9Р60) из гранат-кварцевого кристаллического сланца Хинантынусского субтеррейна (б).

с *Ulcundia aff. incompleta* (Nasarov) и радиоляриями *Jnanibigutta cf. aksakensis* Nasarov и др. (сборы Н. Л. Евглевского, определение Б. Назарова) до 1000 м.

2. Горизонт светло-серых известняков изменчивой мощности, иногда выклинивающийся по простиранию, с прослойми темно-серых и черных плитчатых кремней. В известняках собрана фауна конодонтов, трилобитов и брахиопод. Комплекс конодонтов характерен для граптолитовой зоны *Nemagraptus gracilis* верхнего лландейло — нижнего кардока, трилобиты определены как позднеордовикские — раннесилуриские, а брахиоподы — как среднеордовикские — раннесилуриские. В кремнистых породах из нашей коллекции установлены (В. С. Руденко) *Ulcundia* до 100 м.

3. Горизонт полимиктовых валунно-галечочных конгломератов с ма-ломощными прослойями брекчированных известняков, гравелитов, песчаников и глинистых сланцев. В последних обнаружены среднеордовикские граптолиты. Гальки и валуны в конгломератах хорошо окатаны и представлены известняками (до 50 %), кремнями, реже базальтами и песчаниками. В гальках известняков А. Ю. Журавлевым [5] обнаружены археоциаты *Cordilleracyathus* sp., *Graphoscypnia* sp. и карбонатные проблематики *Tubulaconus kordeae* Handf., а также карбонатные водоросли *Renalcis granosus* Vologd., *Gordonophyton parvulum* Voron. et Drosd., *Kordehyton crinitum* (Korde) *Girvanella sibirica* Masl. [3]. В гальках известняков из нашей коллекции А. Поповым обнаружены и определены остатки известковых водорослей *Renalcis pectunculus* Korde, *Girvanella problematica* Nich. et Ether., *Epiphyton* cf. *fruticosum* Vologd., *Proaulopora* sp. Перечисленные виды археоциат, проблематик и водорослей определяют возраст известняков в гальках ботомским веком раннего кембрия. Вероятно, к раннему кембрию следует относить часть галек, сложенных кварцевыми калькаренитами. Кроме того, в нашей коллекции встречаются гальки известняков, в которых Л. Г. Бондаренко обнаружила и определила конодонты *Pygodus anserinus* Lamont et Lindstrom, *Cahabagnathus sweet*. Bergstrom, *Protopanderodus varicostatus* (Sweet and Bergstrom), *Phragmodus* sp., *Periodon aculeatus* Hadding, *Paltodus semisymmetricus* (Hamar), соответствующие конодонтовой зоне *Pygodus anserinus*.

Сев. Америки или граптолитовой зоне *Nemagraptus gracilis* верхнего лландейло — нижнего карадока среднего ордовика. Из кремневых галек В. С. Руденко выделены и определены *Ulcundia*, аналогичные обнаруженным в кремнях нижележащей толщи до 200 м.

4. Толща глинистых сланцев и филлитов с маломощными линзовидными прослойями известняковых песчаников и известняков, реже гравелитов и конгломератов, редко эфузивов среднего состава. Толща охарактеризована фауной граптолитов зоны *Climacograptus longispinus superius* верхнего ордовика до 1500 м.

Как видно из приведенного описания, средне-верхнеордовикский разрез включает две контрастные части — кремнисто-известково-базальтовую (горизонты 1—2) и терригенную (горизонты 3—4).

Базальты Элгеминайского субтеррейна испытали сильные вторичные изменения с развитием альбита, эпидота, актинолита, хлорита, глинистых минералов. В большинстве анализов потери при прокаливании значительно превышают 5 %.

В табл. 1 приведены анализы сравнительно слабо измененных базальтов. По содержанию TiO_2 , Ni, Cr они близки к базальтам MORB, но отличаются низкими содержаниями Y. Реликтовый клинопироксен содержит очень малое количество TiO_2 (0,12—0,16 %).

ОБСУЖДЕНИЕ РЕЗУЛЬТАТОВ И ЗАКЛЮЧЕНИЕ

Ганычаланский террейн имеет гетерогенное строение и сложен геологическими образованиями, которые первоначально формировались в различных обстановках. Вероятно, ультрабазиты, габброиды и амфиболиты Хинантынупского субтеррейна совместно с базальтами Ильпенейского субтеррейна представляют собой офиолитовую ассоциацию океанического острова. Следующие данные свидетельствуют об этом:

перidotиты и габбро ассоциируют с высокотитанистыми толентами и щелочными базальтами гавайского типа с большим количеством туфов;

в габброидах отмечается повышенное содержание титана;

в перidotитах и габброидных породах присутствует магматическая высокотитанистая роговая обманка;

Ar—Ar-возраст образования габбро и гранат-амфиболовых сланцев Хинантынупского субтеррейна близок к возрасту метаморфизма кварцитов Ильпенейского субтеррейна (559, 550 и 530—520 млн лет соответственно).

Амфиболиты и амфиболовые сланцы Хинантынупского субтеррейна, судя по близкому возрасту габбро и гранат-амфиболовых сланцев, отражают ранний метаморфизм офиолитов, связанный с перемещением пластин разогретых габброидных пород сразу же после формирования симаунтов в процессе внутриоceanических деформаций. Метаморфические породы формировались в условиях высоких температур (625°C) и давлений (9 кбар). Позднее базальты и осадочные породы Ильпенейского субтеррейна были превращены в голубые и зеленые сланцы. Метаморфизм фации голубых сланцев в меньшей мере затронул породы Хинантынупского субтеррейна.

Элгеминайский субтеррейн сложен двумя резко различными комплексами пород. Нижняя часть разреза, представленная диабазами и пильво-базальтами, перекрытыми кремнисто-известняковой пачкой лландейло-карадокского возраста, по особенностям пород и геохимическим характеристикам соответствует верхней части разреза океанической коры. Верхняя часть Элгеминайского субтеррейна сложена позднеордовикскими конгломератами с галькой пород всех трех субтеррейнов Ганычаланского террейна.

Ильпенейский и Хинантынупский офиолитовые субтеррейны возникли, вероятно, в результате коллизии океанического острова с континентальной окраиной в раннем кембрии. Элгеминайский субтеррейн является фрагментом океанического или задугового бассейна, который

в конце ордовика соединился с Ильменским и Хинантунским субтеррейнами в единый Ганычаланский террейн. Видовой состав археоцитат в экзотической гальке раникембрийских известняков указывает на возможную близость Ганычаланского террейна к краю Североамериканского континента в позднеордовикское время. Девонские, пермские и позднетриасовые отложения в меланитке представлены шельфовыми фаунаами и, вероятно, образовались на окраине террейна, составлявшего часть пассивной окраины.

Аkkреция Ганычаланского террейна к континентальной окраине Азии произошла в раннемеловое время.

ЛИТЕРАТУРА

1. Алексеев Э. С. Куюльский серпентинитовый меланит и строение Таловско-Майнской зоны (Корякское нагорье) // Геотектоника. — 1981. — № 1. — С. 105—120.
2. Белый В. Ф., Колясников Ю. А., Красный Л. Л. Ордовикские отложения Пенжинского хребта (Корякское нагорье) // Докл. АН СССР. — 1981. — Т. 259, № 6. — С. 1416—1419.
3. Воронова Л. Г., Дроzdova Н. А. К вопросу о биогеографии раннего кембра (на материалах изучения водорослей) // Проблемы палеобиогеографии Азии. — М.: Наука, 1986. — С. 34—55.
4. Добрецов И. Л. Глаукофансланцевые и эклогит-глаукофансланцевые комплексы СССР. — Новосибирск: Наука, Сиб. отд-ние, 1974.
5. Журавлев А. Ю. Археоцитаты нижнего кембра крайнего Северо-Востока СССР. Кембрей Сибири и Средней Азии. — М.: Наука, 1988. — С. 97—110. (Тр. ИГИ ГО АН СССР; Вып. 720).
6. Маркевич И. В., Филиппов А. И., Малюновский А. И. и др. Фанерозойское геосинклинальное осадконакопление Сихотэ-Алини и Корякско-Камчатской области // Геосинклинальный литогенез на границе континент — океан. — М.: Наука, 1987. — С. 10—135.
7. Марков М. С., Некрасов Г. Е., Паланյян С. А. Офиолиты и меланократовый фундамент Корякского нагорья // Очерки тектоники Корякского нагорья. — М.: Наука, 1982. — С. 30—70.
8. Мишкин М. А. Амфиболовый геотермобарометр для метабазитов // Докт. АН СССР. — 1990. — Т. 312, № 4. — С. 944—946.
9. Некрасов Г. Е. Тектоника и магматизм Тайгояcosa и северо-западной Чамчатки. — М.: Наука, 1976. (Тр. ГИН АН СССР; Вып. 280).
10. Перчук Л. Л., Рябчиков И. Д. Фазовое соответствие в минеральных системах. — М.: Недра, 1976.
11. Ханчук А. И., Григорьев В. Н., Головузов В. В. и др. Куюльский офиолитовый террейн/ДВО АН СССР. — Владивосток, 1990.
12. Чехов А. Д. Тектоника Таловско-Пекульнейской зоны // Очерки тектоники Корякского нагорья. — М.: Наука, 1982. — С. 10—106.
13. Шиллинг Дж.-Г. Эволюция морского дна на основе данных по geoхимии редкоземельных элементов // Петрология изверженных и метаморфических пород дна океана. — М.: Мир, 1973. — С. 198—241.
14. Coney P. J., Jones D. L., Monger J. W. H. Cordilleran suspect terranes // Nature. — 1980. — V. 288. — P. 329—333.
15. Dick H. J. B., Bullen T. Chromian spinel as a petrogenetic indicator in abyssal and alpine-type peridotites and spatially associated lavas // Contribs. Mineral. Petrol. — 1984. — V. 86, N 1. — P. 54—76.
16. Jones D. L., Howell D. G., Coney P. J., Monger J. W. H. Recognition, character and analysis of tectono-stratigraphic terranes in western North America // Accretion tectonics in the circum-Pacific regions. Proc. of the Oji Intern. Seminar on Accretion tectonics. Japan, 1981. — Tokyo: Terra Sci. Publ. Comp., 1983. — P. 21—35.
17. Monger J. W. H., Berg H. C. Lithotectonic terrane map of western Canada and southeastern Alaska. Map MF-1874-B, 1 sheet, scale 1 : 25 500 000. — U. S. Geol. Surv. Misc. Field Studies, 1987.